

DOI:10.19751/j.cnki.61-1149/p.2021.04.003

# 新疆北山白山地区地球化学特征及找矿远景预测

李文明,刘拓\*,孙吉明,杨博,谢燮,尤敏鑫,杜辉,赵禹

(中国地质调查局西安地质调查中心,陕西 西安 710054)

**摘要:** 在新疆白山地区开展 1:50 000 土壤地球化学测量的基础上,对该区地球化学特征进行了初步分析,并对该区元素地球化学参数进行计算,对元素分布特征、单元元素异常特征、综合异常特征进行了研究。结果显示 Cu、Ni、Au、W 为区内具有一定潜力的找矿指标;通过元素异常特征,结合成矿地质条件及已知矿化信息,圈定了找矿远景区;利用土壤地球化学测量成果,发现了铜镍矿体,为进一步找矿工作指明了方向。

**关键词:** 土壤地球化学测量;地球化学特征;白山地区;找矿远景区

中图分类号:P595

文献标志码:A

文章编号:1009-6248(2021)04-0042-07

## Geochemical Characteristics and Prospecting Prognosis in Baishan Area of Xinjiang Beishan

LI Wenming, LIU Tuo\*, SUN Jiming, YANG Bo, XIE Xie, YOU Minxin, DU Hui, ZHAO Yu

(Xi'an Center of China Geological Survey, Xi'an 710054, Shaanxi, China)

**Abstract:** Based on the 1:50000 soil geochemistry survey in Baishan area in Xinjiang, this study preliminarily analyzed the geochemical features and parameters, highlighting the element distribution characteristics, element anomalies, multi-element anomaly characteristics. The results show that Cu, Ni, Au and W might be prospecting in the study area. The element anomalous characteristics combined with the ore-forming geological conditions and the existing information delineate the prospecting areas. Copper nickel ore body has been found with the help of soil geochemical survey, indicating a direction for the future prospecting in this area.

**Keywords:** soil geochemical survey; geochemical characteristics; Baishan area; prospecting areas

北山地区横跨内蒙古自治区、新疆维吾尔自治区、甘肃省 3 个省区,位于阿尔泰山、东天山、阿尔金山 3 大山系的交汇区域。在漫长的地质演化历史时期中,由于经历多期地质构造演变和多时段岩浆活动,具有较好的成矿条件和成矿,发现了大量的矿产

地(杨合群等,2006,2008,2012;姜寒冰等,2015)。若羌白山地区属于中坡山-红十井(裂谷系)铜-镍-金-铁-锰-铅-锌成矿带,矿带内已发现金、铜、镍、铁、锰、钨、钠硝石、石盐、芒硝等 9 种矿产,但以金、铜、镍、石盐、芒硝、钠硝石为主,包括坡一超大型镍矿床,是进

收稿日期:2021-04-02;修回日期:2021-07-20

基金项目:中国地质调查局项目“东天山-北山成矿带地质调查”(DD20160009)。

作者简介:李文明(1984-),男,高级工程师,地球化学专业,主要从事地质矿产勘查方面的工作。E-mail: cgs\_Wenming@126.com。

\* 通讯作者:刘拓(1964-),男,教授级高工,地球化学专业,主要从事地球化学调查研究方面的工作。E-mail: 379937608@qq.com。

一步找矿的良好潜力地区<sup>①</sup>。研究区位于罗布泊东北缘,属于干旱荒漠戈壁残山景观区,地势平缓开阔,水系不太发育,残坡积物、冲积物厚度较小,基岩覆盖较浅,是开展土壤地球化学测量的较理想场所(刘珊等,2016;段星星等,2019;王乔木等,2021;HE, et al., 2021)。笔者在1:5万土壤地球化学测量的基础上,对研究区成矿元素地球化学特征、元素组合类型和异常空间分布特征进行了规律总结,优选了成矿远景区,探讨了本地区找矿潜力和找矿方向。

## 1 地质特征

研究区位于北山裂谷构造带,构造带界于罗布泊-疏勒河断裂带和车尔臣-星星峡断裂带之间,是发育在塔里木陆壳板块和敦煌地块之间的一个构造活动带,主要由堆积巨厚的古生代地层和支离破碎的前寒武纪微型陆块组成,构造带内构造线多呈北东东向,褶皱构造和断裂构造均较发育<sup>①</sup>。区内断裂以北东东向白山韧性大断裂为主,近东西向及南北向断裂也较为发育,褶皱样式复杂多样,以多期次构造叠加褶皱为主。研究区出露地层由老至新主要为古元古界敦煌岩群、中元古界长城系古铜井岩群、下石炭统红柳园组、上石炭统石板山组和干泉组、下二叠统红柳河组中性火山岩-火山碎屑岩-碎屑岩建造,第四系更新统山前冲洪积扇砂砾、砾石、碎石层,全新统现代冲积砂、砾石层等。区内广泛分布岩浆岩,岩浆活动以石炭-二叠纪为主,含有少量的古元古代及早古生代岩浆活动。

## 2 工作方法与分析

土壤测量工作严格按照地球化学普查规范执行(国土资源部,2015),研究区面积为750 km<sup>2</sup>,其中基岩出露区约为730 km<sup>2</sup>,中生代地层覆盖区约为20 km<sup>2</sup>。采集样品为土壤样品,采样时采用多点结合方式,以主采样坑为中心,采集20~30 m内多点采样混合,增强代表性,粒度为-4~+20目。按照新疆北山地区的气候和景观特点,采样物质一般为干样,由于区内土壤样品盐碱较大(段星星等,2019),需在野外对样品进行初步去碱加工过筛,室

内进一步除碱过筛。本次工作共采集土壤样品6276件,采样密度为8.37个/km<sup>2</sup>,重复样153件。

样品分析测试工作在西安地质调查中心实验测试中心完成,测定Au、Ag、Cu、Ni、Cr、Co、Fe、Mn共16种元素,样品报出率、标样监控合格率、密码抽查合格率、外检样合格率等分析测试符合规范要求,满足分析质量要求。

## 3 地球化学特征

### 3.1 元素地球化学参数

笔者对区内6123件样品(去除重复样)的测试数据进行了分析研究,利用元素平均值( $X$ )、最大值( $X_{\max}$ )、标准离差( $S$ )、变化系数( $Cv$ )、浓集卡拉克值( $K$ )等参数讨论土壤地球化学特征和规律(表1)。从表1可以看出,指示元素相对背景含量与地壳(岩石)丰度比较,其浓集卡拉克值大于1的有As、Sb、Bi、Cr、Mn,表明研究区大多指示元素浓集卡拉克值( $K$ )小于1。因研究区位于罗布泊东北缘的新疆北山,土壤中含碱量较大,加之地球化学景观环境为荒漠干旱区,物理风化占优势,所采样品以岩屑为主,所以 $K$ 值小于1,表明指示元素背景平均值接近基岩的背景平均值。

变化系数反映元素变异程度,其值越大说明元素在地质体中不均匀分配越强,找矿潜力越高。根据元素在不同地质单元中的分配特征,按变化系数( $Cv$ )分为很不均匀元素( $Cv > 1.5$ )、不均匀元素( $1 \leq Cv \leq 1.5$ )和均匀元素( $Cv < 1$ );按浓度卡拉克值( $K$ )分为富集元素( $K > 1$ )、稳定元素( $0.9 \leq K \leq 1$ )和贫化元素( $K < 0.9$ )。

根据上述分析,区内元素的分布特征为:①研究区元素的变化系数为0.38~2.41,元素变化系数最大为Bi,变化系数大于1的有Ni、Au、As、Sb、Bi、W、Mo,表明这些元素分散、富集程度较高,具有富集成矿的潜力;部分元素变化系数小于0.5,为弱分异或不具分异元素,相对而言在研究区内不利于元素富集。②对比研究区主要地质单元元素的分布特征如下:古元古代敦煌岩群分布于工区中西部,其变化系数 $Cv > 1.5$ 的元素有As、Bi、W、Mo,该组地层中富集元素为:Bi(2.10)、Sb(1.26)、Cr(1.38)、Mn

①李文明,孙吉明,谢燮,等.新疆若羌白山地区矿产地质调查成果报告.西安:西安地质调查中心,2019.

(1.20)、Ag(1.01),应该注意在不整合接触带、侵入于地层中的各类岩脉、岩体及地层和岩体的接触带附近寻找找矿线索;晚石炭世干泉组分布于工区北部,少量见于中西部的北山断裂附近,该地层中变化系数  $C_v > 1.5$  的元素有 Au、Sb、Hg,富集元素为 As(3.48)、Sb(1.32),在该地层中注意 As、Sb 等低温热液元素成矿可能;晚石炭橄辉长岩主要分布于工区中东部,部分以脉体形式出露,橄辉长岩中变

化系数  $C_v > 1.5$  的元素仅有 Ni(1.94),富集元素为 Bi(1.21)、Cu(1.0)、Co(1.07)、Cr(2.62)、Ni(1.57),该岩体着重注意寻找基性-超基性相关的岩浆铜镍硫化物矿床。③Cu 和 Ni 的异常最大值为  $1.473 \times 10^{-6}$  和  $1.434 \times 10^{-6}$ ,Cu 和 Ni 在研究区有矿化显示,已发现矿化线索。综合以上特征,结合区域地质背景、物探特征、成矿条件等,可见 Cu、Ni、Au、W、Mn 等元素为研究区主要成矿元素。

表 1 白山地区元素地球化学参数表  
Tab. 1 Geochemical parameters of soil in Baishan area

元素	Au	Ag	As	Sb	Hg	Bi	Cu	Pb	Zn	W	Sn	Mo	Co	Cr	Ni	Mn
样品数(N)	6 123	6 123	6 123	6 123	6 123	6 123	6 123	6 123	6 123	6 123	6 123	6 123	6 123	6 123	6 123	6 123
平均值(X)	0.70	48.90	2.33	0.22	6.93	0.22	32.05	11.82	70.59	1.12	1.86	0.68	21.88	89.73	39.62	894.31
极大值( $X_{max}$ )	25	592	189	13.6	395	24.8	1473	116	448	77.1	20.3	38.8	118	2 481	1 434	21 340
中位数(M)	0.6	44	1.43	0.18	6	0.14	28.2	10.3	70.4	0.81	1.61	0.54	20.7	68.5	28	899
标准离差(S)	0.73	22.75	4.85	0.37	5.54	0.54	28.22	7.69	27.02	2.43	1.14	0.79	12.25	85.28	54.45	460.73
变化系数( $C_v$ )	1.04	0.47	2.09	1.65	0.80	2.41	0.88	0.65	0.38	2.17	0.62	1.16	0.56	0.95	1.37	0.52
浓集克拉克值(K)	0.17	0.98	1.22	1.49	0.09	1.75	0.84	0.79	0.82	0.47	0.45	0.34	0.68	1.42	0.70	1.15

### 3.2 元素聚类分析

采用 R 型聚类分析对区内土壤中的元素进行研究,得到元素之间相关程度,所获谱系见图 1。图 1 清晰地反映出测区指示元素分类组合的基本规律,在 0.1 的相似水平上,指示元素分 3 大类。

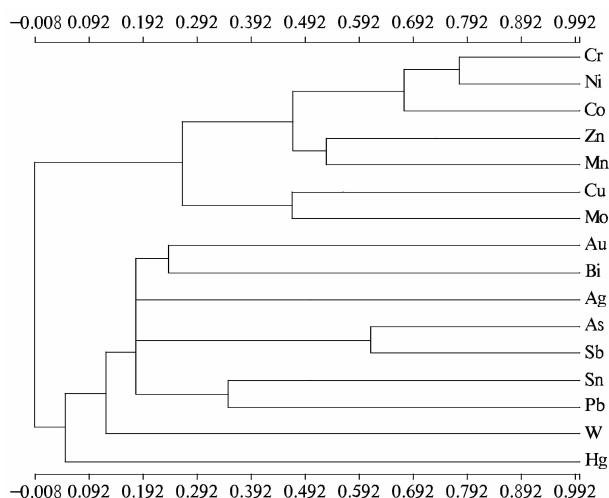


图 1 R 型聚类分析谱系图

Fig. 1 R Cluster analysis pedigree

第一类: Au、As、Sb。反映了测区的与中低温热液或热水沉积有关的成矿元素组合,组合为较典

型的成金成晕组合。

第二类: Cr、Co、Ni、Cu。与区内分布的基性-超基性岩之专属性有关,岩性控制了这些铁族元素的密切组合关系,在 0.7 相似水平上的 Cr、Co、Ni 组合及 0.5 相似水平上的 Cu、Zn、Mo 基本与基性-超基岩之特征有关,但已有高温热液因素的影响。

第三类: Ag、Sn、Pb、W、Bi 等。比较复杂,但多与岩浆作用有关,表现出中-高温热液组合的特征。

### 3.3 单元素异常特征

根据选定的主成矿元素及各元素的地球化学特征,共圈定单元素异常 611 个,圈定综合地球化学异常 12 处,其中甲类异常 2 处,乙类异常 3 处。Cu、Ni 元素异常具有三级浓度分带,规模较大,成矿地质条件有利。

#### 3.3.1 Cu 异常

研究区 Cu 异常主要沿北东向的白山断裂呈带状分布,其中具 Cu 找矿远景的异常 5 处(表 2)。① Cu 异常集中区主要分布于研究区中部基性-超基性岩出露的区域,与磁异常套合较好,Cu 元素异常强度较高、规模较大。如 Cu48 异常,面积为  $1.7 \text{ km}^2$ ,几何均值为  $107.7 \times 10^{-6}$ ,衬度为 2.5,是清晰度比较高的 Cu 异常,最高 Cu 含量达  $1.473.0 \times 10^{-6}$ ,地

表见有孔雀石化现象,通过进一步工作圈定了铜镍矿化体。②Cu部分地球化学异常分布于研究区东北部,其Cu异常可能与石炭系火山岩引起,其分布较为分散,规模较小。

表2 Cu异常的主要特征表  
Tab.2 Main features of Cu anomaly

异常编号	面积(km <sup>2</sup> )	形态	极值(10 <sup>-6</sup> )	规模(NAP)
Cu9	3.8	规则	319.0	11.4
Cu18	26.0	不规则	307.0	42.4
Cu24	1.3	椭圆	270.0	68.9
Cu27	1.2	规则	325.0	3.9
Cu48	1.7	椭圆	1 473.0	4.3

### 3.3.2 Ni异常

Ni异常主要集中在研究区中部,具有Ni找矿远景的异常4处(表3)。研究区的Ni地球化学异常均分布于磁异常带,中部指示元素异常也是规模最大,强度最高,主要与出露地表的基性-超基性岩相关,地表岩体分异较好地段Ni元素异常强度高、规模大。如Ni21异常,面积达15.3 km<sup>2</sup>,几何均值为202.86×10<sup>-6</sup>,衬度为2.76,异常清晰度比较高,最高Ni含量达1 434.0×10<sup>-6</sup>。地表见有镍化,通过槽探工程圈定了镍矿体。Ni33异常面积为0.89 km<sup>2</sup>,几何均值为389.67×10<sup>-6</sup>,衬度为5.29, Ni最高含量为1 120.0×10<sup>-6</sup>。

表3 Ni异常的主要特征表  
Tab.3 Main features of Ni anomaly

异常编号	面积(km <sup>2</sup> )	形态	极值(10 <sup>-6</sup> )	规模(NAP)
Ni5	1.2	椭圆	798.0	3.5
Ni21	15.3	不规则带状	1 434.0	40.9
Ni25	0.6	椭圆	550.0	2.2
Ni33	0.9	椭圆	1120.0	4.7

## 4 找矿远景区的划分

在1:5万土壤地球化学测量成果的基础上,结合研究区已知矿产及其分布规律、成(控)矿地质条件、成矿规律和找矿标志,划分出白山断裂南铜镍找矿远景区、白山断裂东铜镍找矿远景区、淤泥河南金多金属成矿远景区和小独山南金多金属矿找矿远景

区,并进一步圈定白山断裂南铜镍找矿靶区和白山断裂东铜镍找矿靶区。根据找矿成果,本次优选白山断裂南和白山断裂东铜镍找矿远景区进行介绍。

### 4.1 白山断裂南铜镍找矿远景区

远景区位于研究区西南部,面积约为9 km<sup>2</sup>。区内见有基性-超基性岩体露头,露头较小,零星分布,主要岩相有辉长岩相、橄榄辉长岩相及辉石岩相。区内地层主要为敦煌岩群第一岩性段和第二岩性段。主要岩石组合为黑云斜长片麻岩、黑云石英片岩、斜长角闪片岩和斜长角闪岩,局部见有石英岩出露。

远景区主要由Hy-11(甲)综合异常组成,Cu、Ni、Co元素形态较为规则,且异常套合较好,异常面积约为1.1 km<sup>2</sup>。Cu、Ni元素均具内中外带,Ni异常极值为1 120.0×10<sup>6</sup>,Cu异常极值为1 473.0×10<sup>6</sup>。

进行异常检查时,在地表高值点采样坑中发现褐铁矿化、孔雀石化和黄钾铁矾化,其位于一蚀变破碎带中。经工程验证,在辉石岩、长英质角岩层理面及构造破碎带中圈定隐伏铜镍矿体1条,呈似层状产出;矿体视厚度为32.95 m,Ni品位为0.20%~10.99%,平均品位为1.84%;Cu品位为0.21%~4.19%,平均品位为0.93%;矿石为浸染状、贯入型脉状和块状矿石,矿石中主要金属硫化物以黄铁矿、黄铜矿、磁黄铁矿、镍黄铁矿等为主,矿体顶、底板围岩均为长英质角岩。

远景区内经槽探工程控制圈定1处镁铁-超镁铁岩体,呈透镜状,长为500 m,宽为20~70 m。岩石组合有:橄榄岩、辉石岩、辉长岩及苏长岩。杂岩体套合有负磁或低磁物探异常,航磁异常显示深部有高磁性体存在,并往北有较好的延伸,具有进一步找矿的潜力(图2、表4)。

### 4.2 白山断裂东铜镍找矿远景区

远景区位于研究区中部,面积约为61 km<sup>2</sup>。区内出露主要地质体为新发现的白山镁铁-超镁铁杂岩体(谢燮等,2018),岩带呈带状展布,岩带走向严格受白山深断裂的控制,平面上呈相互联通的岩盆状,长轴方向与白山断裂带方向一致;围岩主体为元古代的敦煌岩群,主要岩石组合为黑云斜长片麻岩、黑云石英片岩、斜长角闪岩,杂岩体外围见有顶垂体及残留老地层,内部未见有残留老地层。镁铁-超镁铁岩体与地层呈侵入接触东部接触带呈弧形展布,西部接触带呈不规则的波状;该基性-超基性岩体岩相较齐全,基性岩和超基性岩均有出露,见有辉(苏)

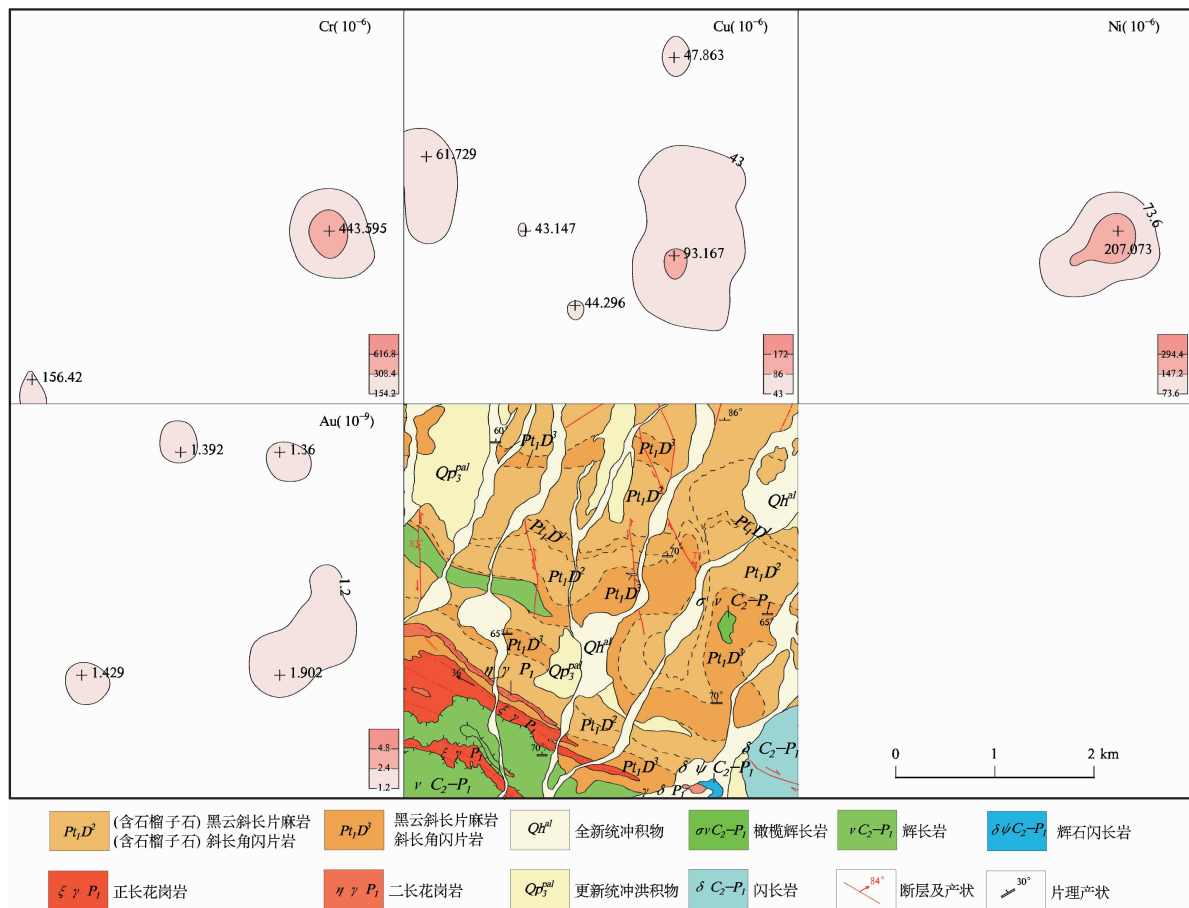


图2 白山断裂南 Hy-11 综合异常剖析图

Fig. 2 Hy-11 comprehensive anomaly profile

表4 Hy-11 综合异常特征表

Tab. 4 Hy-11 features of comprehensive anomaly

元素	Cr	Cu		Ni	Au	
异常编号	Cr29	Cu44	Cu48	Ni33	Au19	Au26
面积 ( $\text{km}^2$ )	0.61	0.57	1.72	0.89	0.51	0.81
形态	规则	规则	规则	规则	规则	规则
异常均值	$1\ 018.5 \times 10^{-6}$	$94.8 \times 10^{-6}$	$107.74 \times 10^{-6}$	$389.67 \times 10^{-6}$	$3.2 \times 10^{-9}$	$3.98 \times 10^{-9}$
异常极大值	$1\ 284 \times 10^{-6}$	$114 \times 10^{-6}$	$1\ 473 \times 10^{-6}$	$1\ 120 \times 10^{-6}$	$3.8 \times 10^{-9}$	$11 \times 10^{-9}$
异常均方差	375.47	16.64	123.00	331.66	0.85	4.1
异常衬度	6.61	2.21	2.51	5.29	2.67	3.32
异常规模	528.90	29.45	111.32	280.53	1.01	2.24
异常 NAP	4.04	1.25	4.31	4.70	1.35	2.67

长岩、橄榄辉长岩、橄榄苏长岩、橄长岩、辉橄岩、纯橄岩,在橄榄辉(苏)长岩和超基性中见有星点状磁黄铁矿和黄铜矿,矿体主要产于橄榄岩相中。

远景区主要由 Hy-6(甲)综合异常组成,Cu、Ni、

Co 元素形态较为规则,且异常套合较好,其受到工作区西侧北东向白山断裂的控制,异常面积约为  $48.5 \text{ km}^2$ ;元素中只有 Ni 具内中外带,Ni 异常极值为  $1\ 473.0 \times 10^{-6}$ ;Cu 异常极值为  $270.0 \times 10^6$ (表 5、图 3)。

表 5 Hy-6 综合异常特征表  
Tab. 5 Hy-6 features of comprehensive anomaly

元素	Cu			Ni			Co			Cr		
异常编号	Cu24	Cu25	Cu36	Ni9	Ni19	Ni21	Co1	Co3	Co4	Cr9	Cr10	Cr17
面积(km <sup>2</sup> )	1.3	0.54	0.35	1.56	12.25	0.54	0.48	0.62	1.5	1.2	0.7	4.3
形态	带状	带状	带状	带状	规则	规则	规则	规则	规则	规则	圆形	较规则
异常均值(10 <sup>-6</sup> )	97.5	131.5	96.1	204.57	235.83	259.67	76.5	73.25	88.78	378.71	277.5	424.85
异常极大值(10 <sup>-6</sup> )	270.0	270	148	318	1 434	550	84.1	102	118	646	396	1 496
异常均方差	78.6	93.57	46.4	77.48	268.95	251.46	10.65	40.66	28.67	171.82	82.97	372.36
异常衬度	2.27	2.27	1.66	2.57	2.96	3.26	1.78	1.7	2.1	2.06	1.51	2.32
异常规模	68.9	39.8	13.2	194.5	1 913.2	96.6	16	18.6	68.03	227.81	63.1	1 024.6
异常 NAP	2.87	1.23	0.57	4.0	36.27	1.75	0.85	1.05	3.07	2.41	1.02	9.83

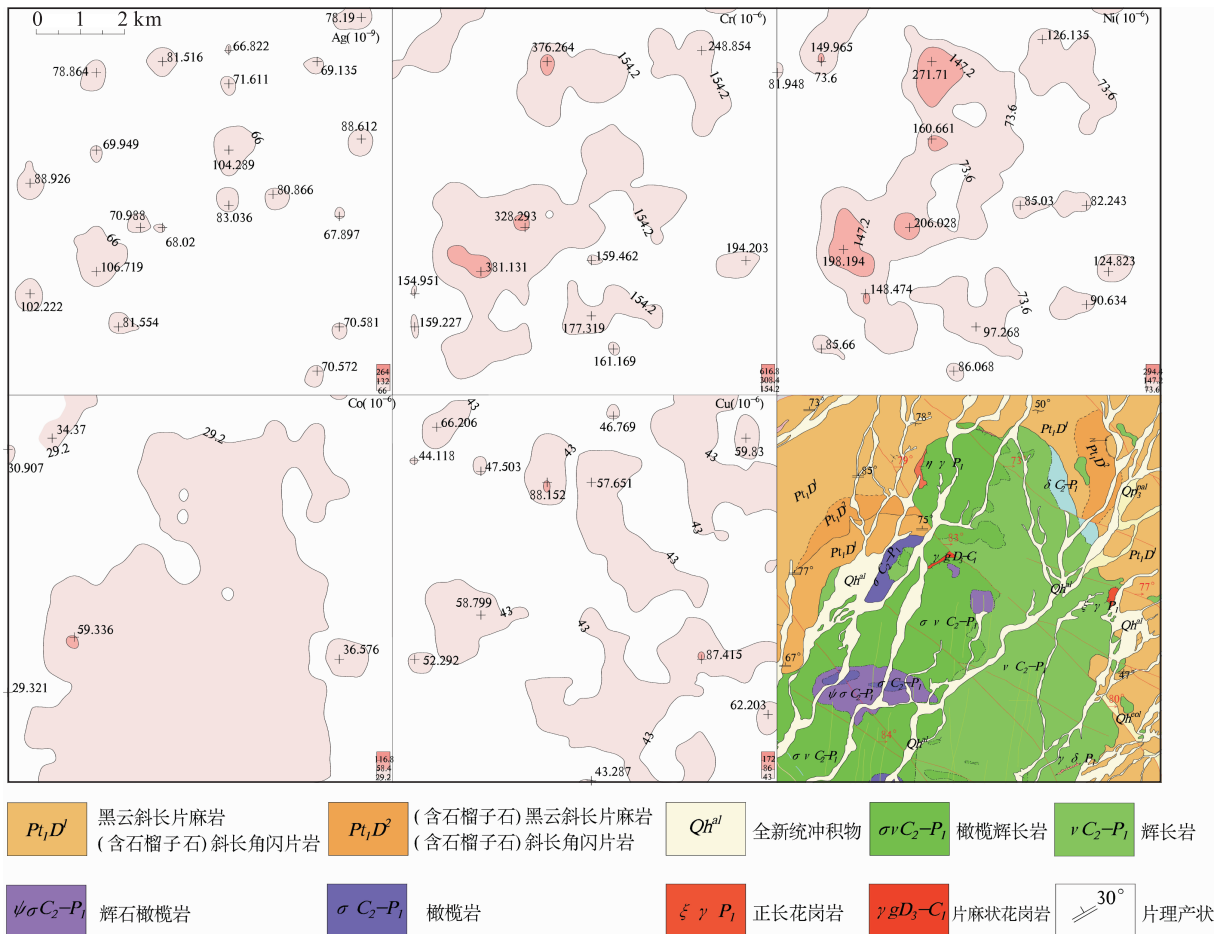


图 3 Hy-6 号综合异常剖面图

Fig. 3 Hy-6 comprehensive anomaly profile

对远景区开展了 1:1 万重力和磁测工作, 覆盖面积约为 40 km<sup>2</sup>。根据物探工作对 2 个杂岩体进行了工程揭露, 杂岩体出露岩石以辉长岩为主, 橄辉岩、纯橄岩次之。1 号杂岩体呈不规则状, 长为 1.5

km, 宽为 1.3 km, 其中圈定 Ni1 号矿体, 走向为 115°, 倾向为 35°, 倾角为 49°。矿体长为 300 m, 视厚度为 1.9~2.5 m; 矿体以黄铁矿、磁黄铁矿、镍黄铁矿为主要矿石矿物, Ni 品位为 0.21%~0.79%,

平均品位为 0.34%。2 号杂岩体呈不规则状,长为 1 km,宽为 0.9 km,其中圈定 Ni2 号矿体,走向为 53°,倾向为 155°,倾角为 56°,矿体长为 400 m,视厚度为 3.7~6.0 m;矿体以黄铁矿、磁黄铁矿、镍黄铁矿为主要矿石矿物,Ni 品位为 0.21%~0.57%,平均品位为 0.35%。

矿(化)体具有较大规模,矿化蚀变带有一定延伸,具备良好成矿地质条件,找矿标志明显,物化探异常显示较好,显示该区找矿前景优越,铜镍资源潜力较大,有望扩大和找到新的矿体。

## 5 结论

(1)通过土壤地球化学特征、R 型聚类分析划分了元素组合类型,反映了各元素间共生组合和成因关系,解释了元素富集特征及原因,为远景区优选提供了依据。

(2)研究区内元素相关性较好,具有找寻与晚石炭世一早二叠世镁铁-超镁铁岩有关的铜镍矿和与石炭纪一早二叠世构造-岩浆作用有关的金矿矿体或矿化体的潜力。

(3)Cu、Ni 元素异常强度高、规模大、异常套合较好,综合了地质、矿产等信息,圈定出了白山断裂东铜镍找矿远景区和白山断裂铜镍找矿远景区,并在进一步的工作中圈定了铜镍矿(化)体。

(4)发现铜镍矿化的白山岩体位于北山裂谷南带,岩体地质、岩相学、岩石地球化学特征,以及成岩时代均与区域内及东天山地区含矿岩体具有较强的相似性(谢燮等,2018),且发现有块状富矿石,表明具有较好的铜镍成矿潜力,证明新疆北山地区具有较大的铜镍找矿空间。

## 参考文献(References):

杨合群,李英,杨建国,等. 北山造山带的基本成矿特征[J]. 西北地质,2006,39(2):78-95.

YANG Hequn,LI Ying,YANG Jianguo,et al. Main Metallogenic Characteristics in the Beishan Orogen [J]. Northwestern Geology,2006,39(2):78-95.

杨合群,李英,李文明,等. 北山成矿构造背景概论[J]. 西北地质,2008,41(1):22-28.

YANG Hequn,LI Ying,LI Wenming,et al. General Discussion on Metallogenic Tectonic Setting of Beishan

Mountain, Northwestern China[J]. Northwestern Geology,2008,41(1):22-28.

杨合群,赵国斌,任华宁,等. 新疆—甘肃—内蒙衔接区元素相关性及其重要矿床异常显示[J]. 地球科学进展,2012,27(A1):91-92.

YANG Hequn,ZHAO Guobin,REN Huanning,et al. Element correlation and abnormal display of important ore deposits in Xinjiang Gansu Inner Mongolia convergence area [J]. Advances in Earth Science, 2012,27(A1):91-92.

姜寒冰,杨合群,谭文娟,等. 敦煌成矿带地质建造的成矿系列家族[J]. 西北地质,2015,48(1):64-71.

JIANG Hanbing,YANG Hequn,TAN Wenjuan,et al. The Metallogenic Series Family of Geological Formation in Dunhuang[J]. Northwestern Geology, 2015,48(1):64-71.

谢燮,李文明,孙吉明,等. 新疆北山地区白山镁铁-超镁铁岩体 LA-ICP-MS 锆石 U-Pb 年龄、地球化学特征及其找矿意义[J]. 地质科技情报,2018,37(6):11-21.

XIE Xie,LI Wenming,SUN Jiming,et al. Geochemistry and Zircon U-Pb Dating of the Baishan Mafic-Ultramafic Rock Complex in the Beishan Area of Xinjiang and Its Prospecting Significance [J]. Geological Science and Technology Information,2018, 37(6):11-21.

刘珊,陈亮,段先哲,等. 土壤地球化学测量在黔东八瓢达冲金矿勘查中的应用与找矿效果[J]. 物探与化探,2016,40(1):27-32.

LIU Shan,CHEN Lian,DUAN Xianzhe,et al. The application of soil geochemistry survey to prospecting in the Bapiao Dachong gold ore district of eastern Guizhou Province and its effect[J]. Geophysical and Geochemical Exploration,2016,40(1):27-32.

段星星,黑欢,梁楠,等. 新疆东天山玉海铜矿外围浅覆盖区 1:5 万化探方法技术及应用[J]. 西北地质,2019,52(3):143-150.

DUAN Xingxing,HEI Huan,LIANG Nan,et al. 1:50,000 Geochemical Prospecting Techniques and their Applications in Shallow Covered Area outside the Yuhai Copper Deposit in East Tianshan Mountains, Xinjiang [J]. Northwestern Geology,2019,52(3):143-150.

王乔林,孔牧,韩伟,等. 土壤地球化学测量在甘肃北山白头山钨矿找矿中的应用[J]. 地质与勘探,2021,57(1):110-121.

WANG Qiaolin,KONG Mu,HAN Wei,et al. Application of soil geochemical survey in the Baitoushan rubidium deposit, Beishan area, Gansu Province [J]. Geology and Exploration,2021,57(1):110-121.

HE Jingzi, FAN Zhengguo, XIONG Shengqing,et al. Geophysical prospecting of copper-nickel deposits in Beishan rift zone, Xinjiang [J]. China Geology, 2021, 4: 126-146. doi: 10.31035/cg2021015.